BCPST1 – G. Furelaud 1/10

ST-H poly 01

La mesure du temps : outils et méthode

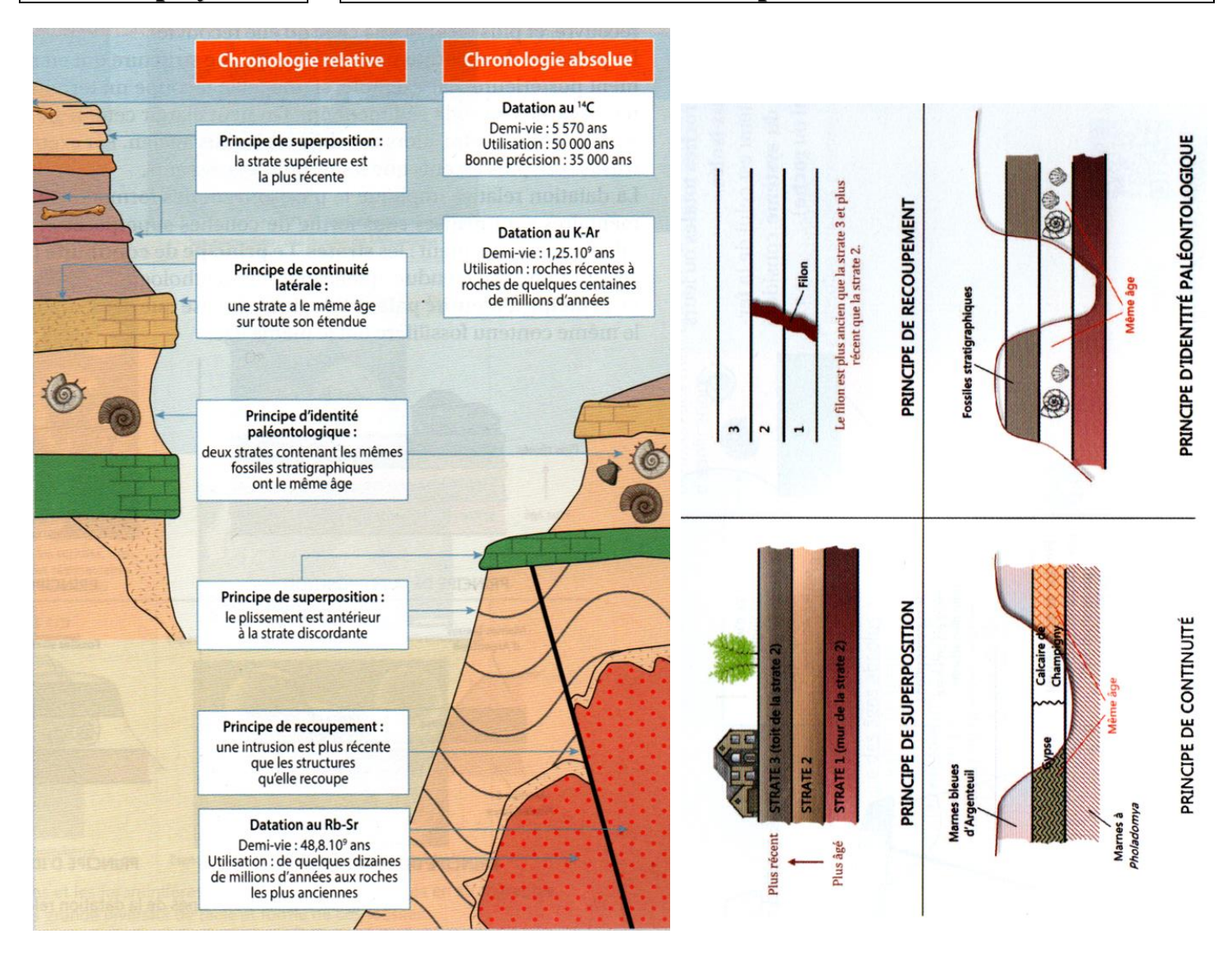


Fig. 1. Les méthodes de datation. *** [2]

Fig. 2. Quatre principes de datation relative. *** [2]

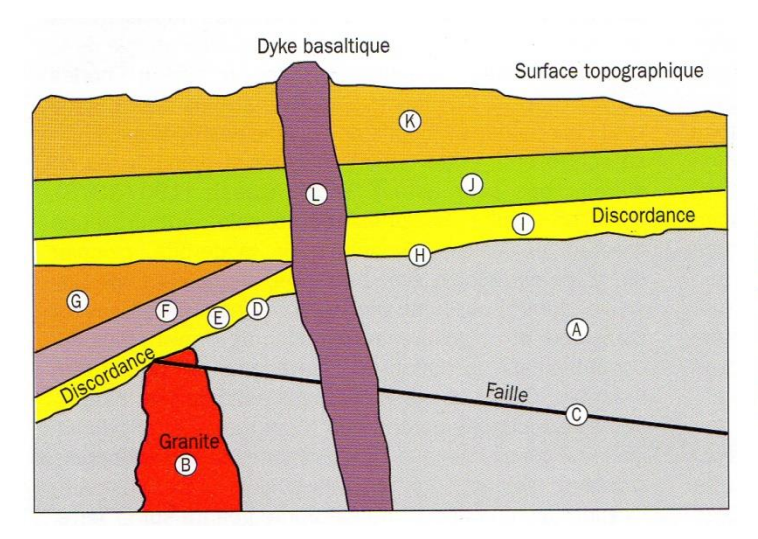
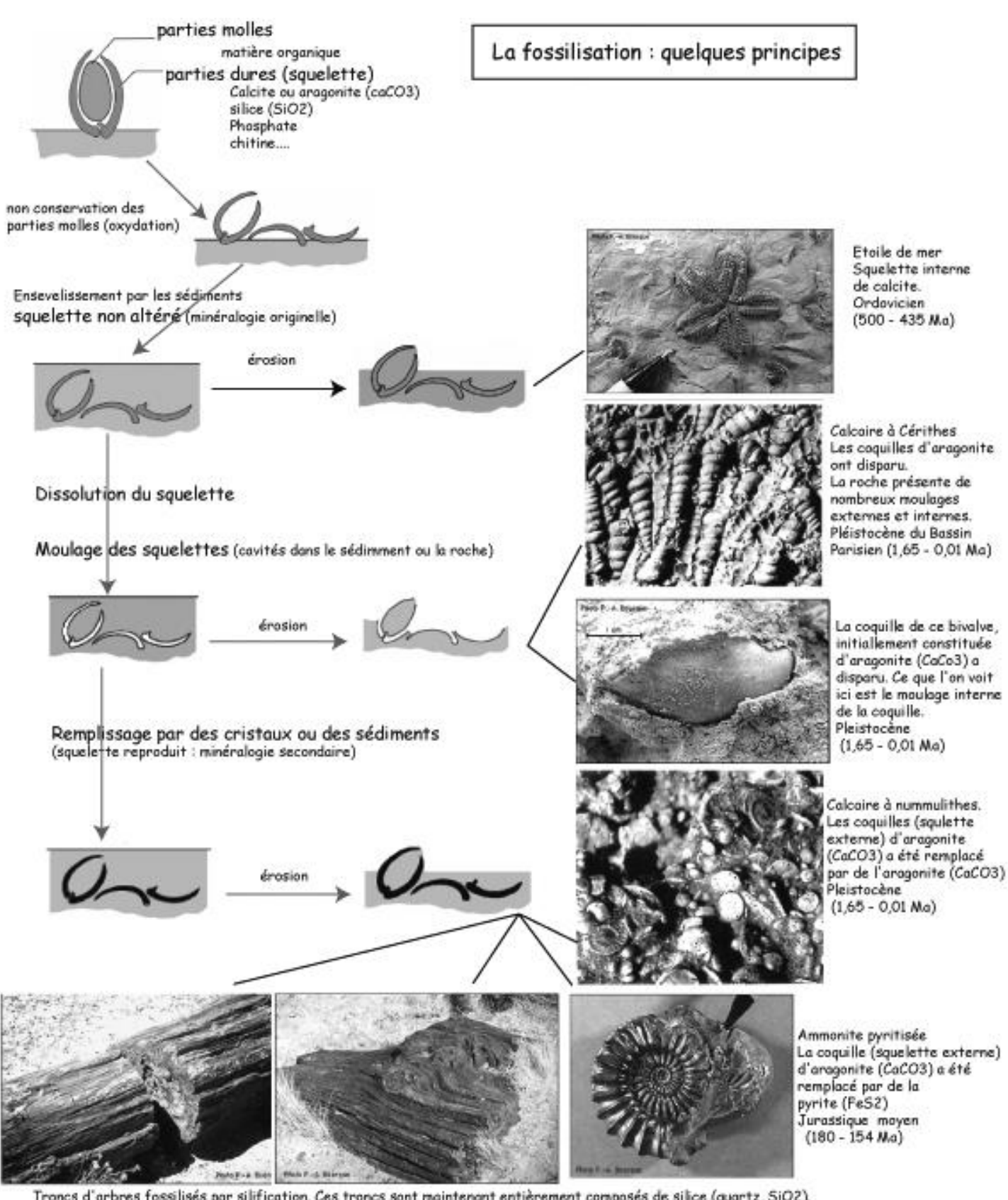


Fig. 3. Exemple de relations possibles entre diverses formations lithologiques. ★

La chronologie des événements ayant conduit à la situation représentée est la suivante :

1) Dépôt des sédiments A. 2) Déformation et métamorphisme des sédiments A. 3) Intrusion du granite B dans les sédiments A. 4) Faille C. 5) L'érosion est responsable de la discordance visible en D. 6) Dépôt des sédiments E, F et G. 7) Remontée, basculement et érosion sont responsables de la discordance visible en H. 8) Dépôts des sédiments I, J et K. 9) Intrusion d'un dyke basaltique L. 10) L'érosion forme l'actuelle surface topographique.

BCPST1 – G. Furelaud 2/10



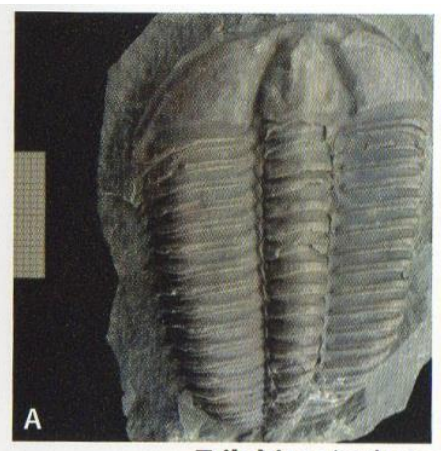
Troncs d'arbres fossilisés par silification. Ces troncs sont maintenant entièrement composés de silice (quartz, SiO2). Notez la remarquable conservation des détails anatomiques. Parc national de la Forêt pétrifiée, Arizona (USA). Trias (245 - 205 Ma)

Schémes et photos issus de www.gglulaval.ca/personnel/bourque/intro.pt

Fig. 4. Principe général de la fossilisation. ***** [5]

BCPST1 - G. Furelaud 3/10

Fig. 5. Quelques exemples de fossiles stratigraphiques du Paléozoïques. [4]







Trilobites (arthropodes) A - Conocoryphe sulzeri (Cambrien, Bohême, Tchèquie)

B - Flexicalymene sp. (Silurien, Ohio, USA)

Coraux (Cnidaires, Tetracoralliaires) A - Hexagonaria hexagona (Dévonien, Ardennes, Belgique) B - Halysites catenularia (Silurien sup., Gothland, Suède)





Mollusques céphalopodes

A - Goniatites gweni (Carbonifère (Tournaisien), Indiana, USA) B - Blakeoceras empiricum (Dévonien, Bohême, Tchèquie)

Brachiopodes Cyrtospirifer speciosus (Dévonien sup. (Eifélien), Ardennes, France).



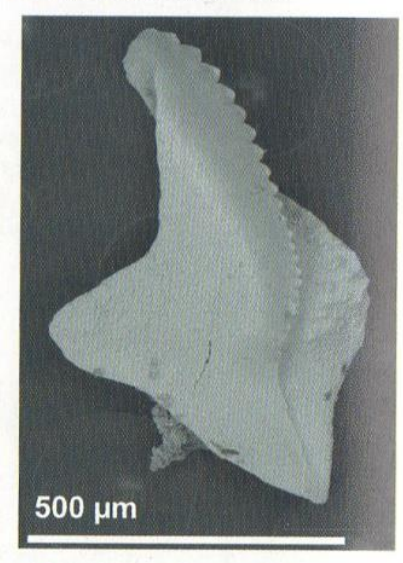
Hemichordés Graptolithes Monograptus sp. (Silurien sup., Ariège, France)



Foraminifères benthiques Fusulines en lame mince (Carbonifère-Permien)

Collection de Paléontologie





Chordés - Conodontes Palmatolepsis quadrantinodosolobata (Élément P1 au MEB) Dévonien (Fammenien)

*** : Trilobites, Ammonoïdés (Mollusques céphalopodes), Brachiopodes

******: Fusulines (Foraminifères benthiques) ★: Coraux, Graptolithes, Conodontes

BCPST1 – G. Furelaud 4/10

Fig. 6. Quelques exemples de fossiles stratigraphiques du Mésozoïque et du Cénozoïque. [4]



: Ammonoïdés (Mollusques céphalopodes), Mollusques bivalves (*Hippurites*) Brachiopodes, Foraminifères planctoniques (*Globotruncana* et Globigerines) et benthiques (Nummulites)

******: Coccolithes

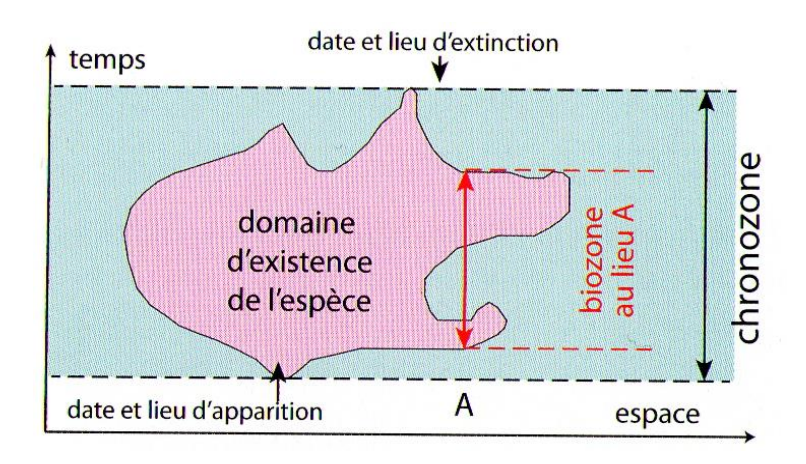
BCPST1 – G. Furelaud 5/10

Fig. 7. Chronozone et biozone. ** [4]

La **biozone** correspond à l'observation locale de l'extension stratigraphique d'une (ou plusieurs) espèce(s) fossile(s)

La **chronozone** correspond, elle, à l'extension temporelle réelle de l'espèce.

La biostratigraphie observe des biozones, à partir desquelles on cherche à reconstituer les chronozones des espèces, dans une optique de géochronologie (c'est-à-dire de datation).



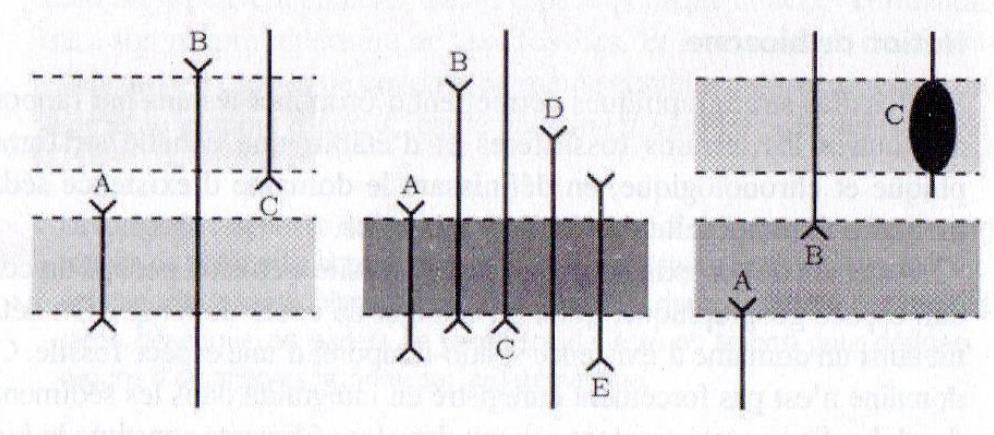


Fig. 8. Quelques exemples de biozones.

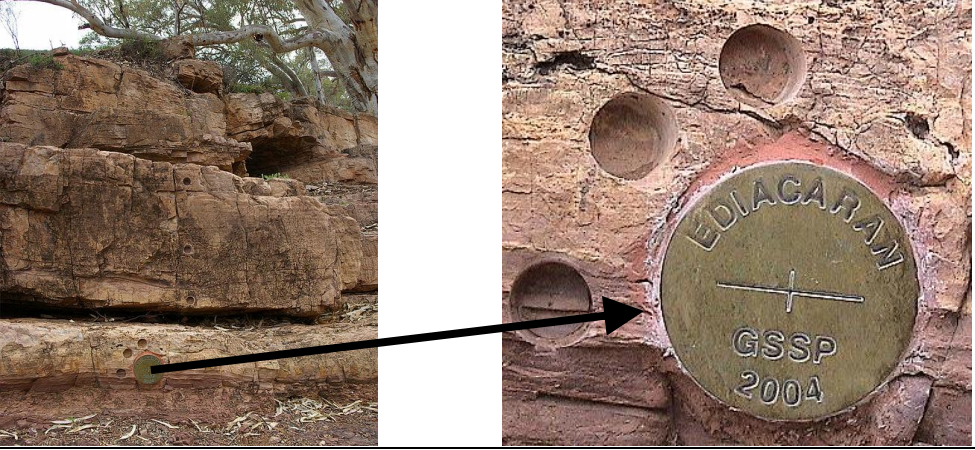
- (a) Zone d'extension (de A) (b) Zone d'et d'extension concomittante taxa A et E) (B et C)
 - (b) Zone d'association (des taxa A et E)
- (c) Zone d'exclusion (ni A ni
- B) et zone d'abondance (de
- C)

Fig. 9. Un exemple de stratotype : celui du Stampien (constitué de 8 sites), dans l'Essonne en région parisienne. 🖈



Fig. 10. Exemple de GSSP, ou « clou d'or ». 🖈

GSSP de la base de l'Ediacarien dans les collines d'Ediacara en Australie



BCPST1 – G. Furelaud 6/10

Fig. 11. Les différents types de stratotypes (pour information !). 🖈

1. Stratotype d'unité (ex : Fig. 9)

Lorsqu'une formation (ou un groupe de formations) a été reconnu comme **point de repère à valeur internationale**, elle prend le nom de **stratotype**.

Un tel stratotype est défini en tant qu'unité, et permet de définir un **étage** de l'échelle stratigraphique. Cet étage est nommé en ajoutant le suffixe –ien au nom géographique du stratotype d'unité.

Ex : le lutétien défini en région parisienne, le turonien défini près de la ville de Tours, l'édiacarien défini par la formation des schistes d'Ediacara (chaîne de collines australiennes)...

Un stratotype initial (l'holostratotype) peut parfois être complété (ou remplacé) par des affleurements plus représentatifs ou plus complets : ces derniers constituent alors un parastratotype.

2. Stratotype de limite : les GSSP (ex : Fig. 10)

Les stratotypes d'unité ne sont pas toujours reconnaissable ou corrélables facilement à l'échelle mondiale... Pour tendre vers une datation stratigraphique plus précise et plus rigoureuse, les stratigraphes tentent de redéfinir les stratotypes, en y ajoutant un nouveau genre : le stratotype de limite.

Il s'agit toujours d'une coupe de référence, mais sur laquelle seule la **limite inférieure** d'une unité est prise en compte, car elle est nette et la plus documentée possible.

Dans ce système, une unité stratigraphique n'est plus représentée « entièrement » (ses sédiments, ses fossiles...), mais uniquement ses limites. Les limites en question, même si elles « se suivent » dans le temps, peuvent parfaitement être reconnues par des stratotypes de limite géographiquement très éloignés.

Les stratotypes de limite reconnus internationalement sont les **GSSP** (*Global Standard Stratotype-section and Point*: point et section-stratotype standard global). La limite ainsi reconnue (lors de congrès internationaux, suite à de longs travaux menant à un nécessaire accord de la communauté des stratigraphes) est physiquement signalée et balisée sur le terrain. On parle couramment de « clou d'or ».

Il est à noter qu'un GSSP doit impérativement être daté par une méthode de datation absolue (soit directement, soit indirectement).

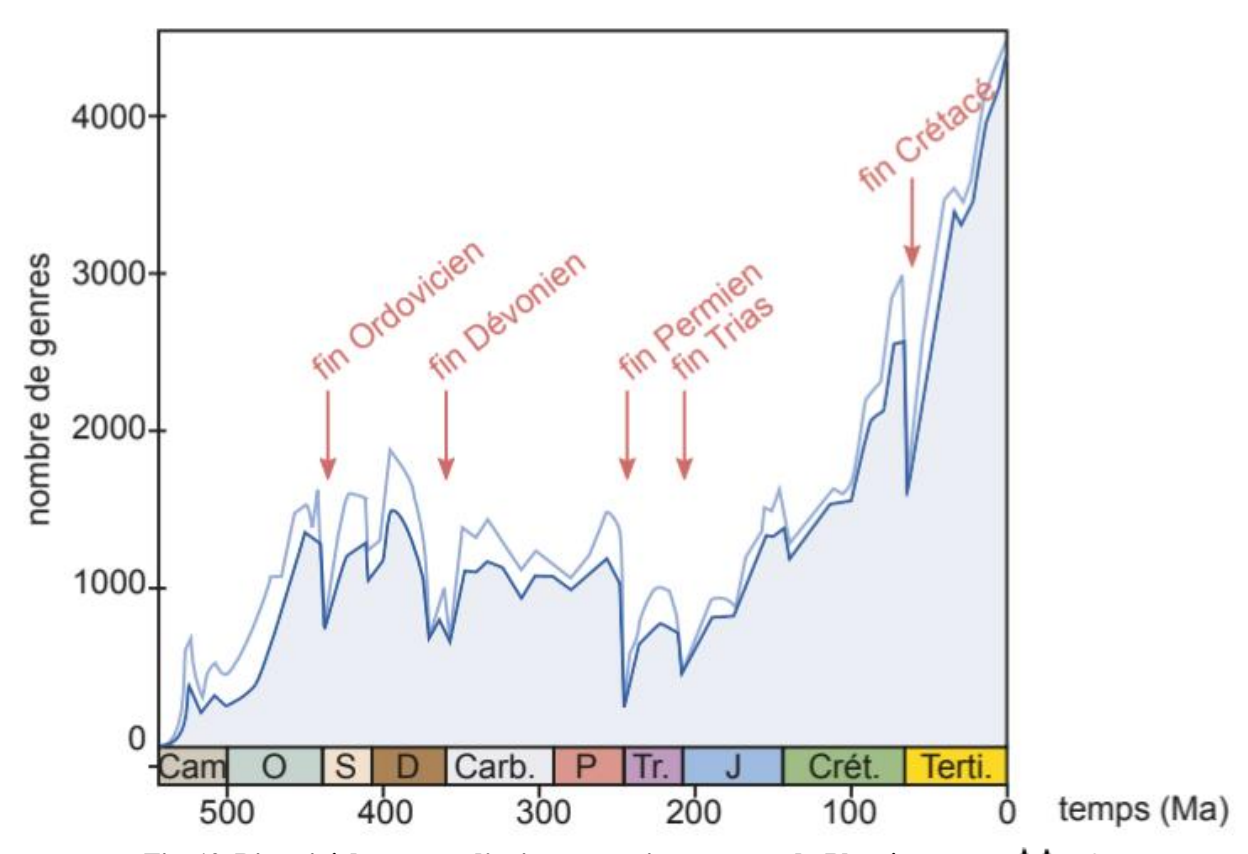
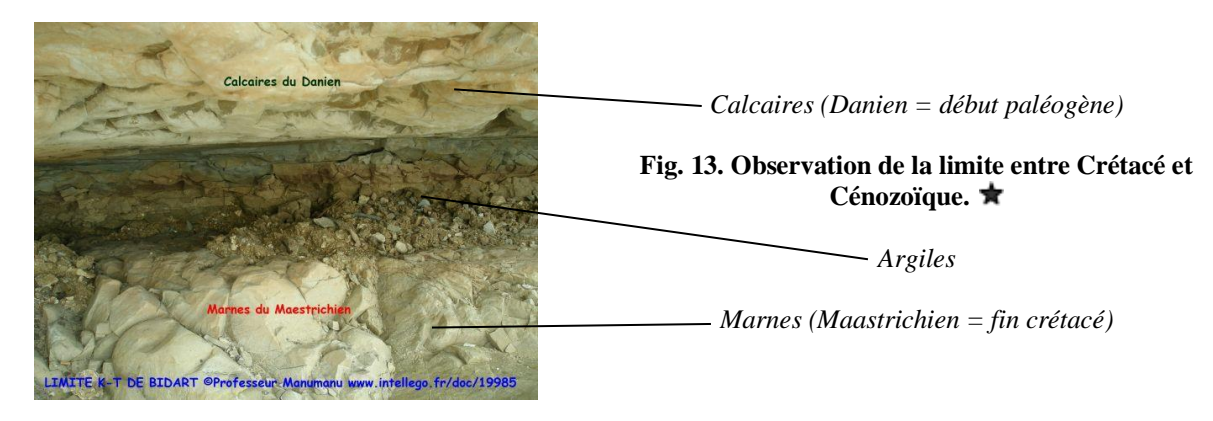


Fig. 12. Diversité des genres d'animaux marins au cours du Phanérozoïque. 🗯 [3]

La courbe du haut correspond à l'étude de tous les genres recensés (33 180), la courbe du bas ne prends en compte que les genres présents sur au moins deux intervalles de temps (18 130)

BCPST1 – G. Furelaud 7/10



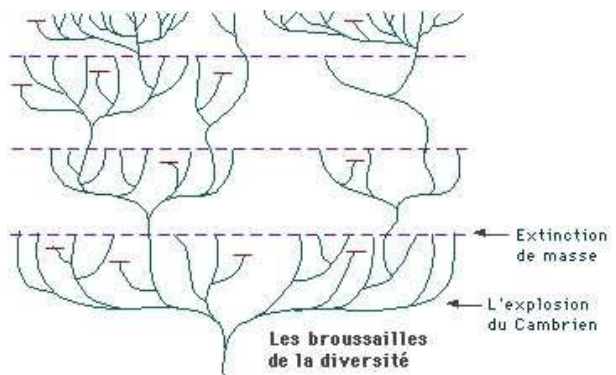
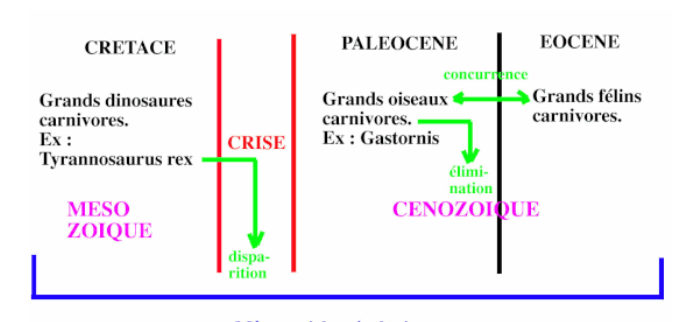


Fig. 14. Principe des radiations évolutives après les crises biologiques.



Mêmes niches écologiques

Fig. 16. « Remplacement » au sein de la niche des grands carnivores suite à la crise K-T.

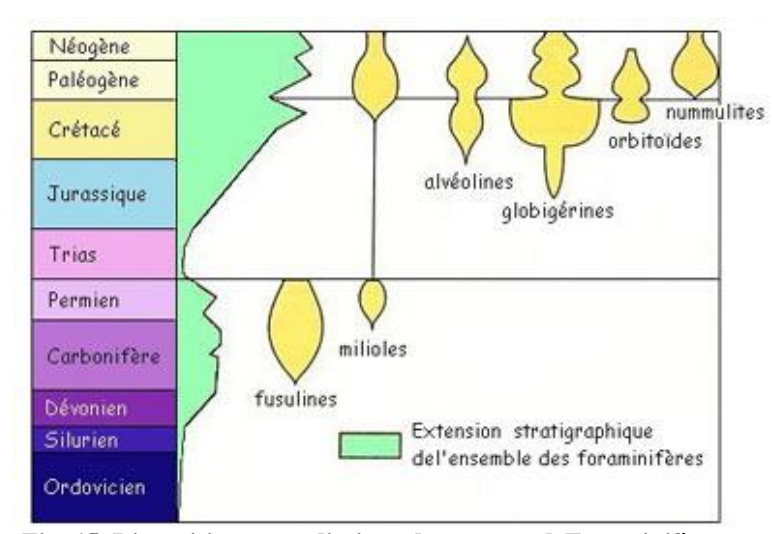


Fig. 15. Disparitions et radiations de groupes deForaminifères au Phénorozoïque.

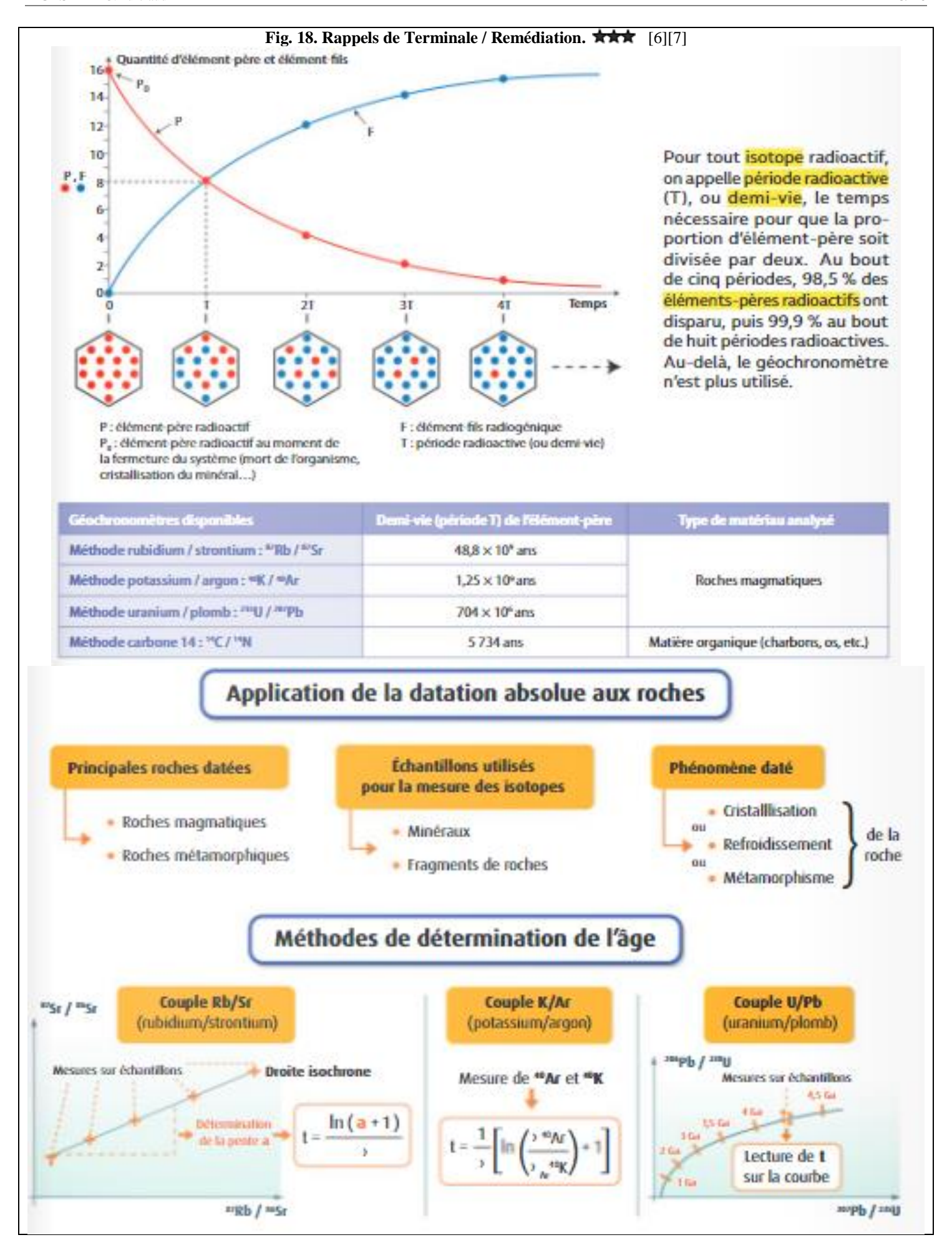
Le groupe des globigérine est ici indiqué au sens large du terme, et comprend en réalité :

- Les hétérohélicidés, qui traversent la crise crétace-tertiaire (KT) sans problème
- Les globotruncana, qui disparaissent lors de la crise KT
- Les globigérines vraies, qui se diversifient après la crise KT

Fig. 17. Quelques couples utilisés en radiochronologie.

Couple	Réaction(s) et constantes radioactives	Période T (an)	Matériel daté et âges	remarques
U/Pb Uranium / Plomb	²³⁸ U> ²⁰⁶ Pb + 8 ⁴ He λ = 1,551.10 ⁻¹⁰ a ⁻¹ ²³⁵ U> ★ + 7 ⁴ He λ = 9,849.10 ⁻¹⁰ a ⁻¹	4,468.10 ⁹ 0,704 10 ⁹	En général, minéral résistant : le Zircon (ZrSiO ₄), inclus dans d'autres minéraux > 10 Ma	Datation avec la courbe Condordia
K/Ar Potassium / Argon	⁴⁰ K> ⁴⁰ Ar + γ $\lambda = 5,55.10^{-11} a^{-1}$ ${a} 89,5\% : {}^{40}K \rightarrow {}^{40}Ca$	1,25.10 ⁹	Minéraux riches en K > 1 Ma Possible aussi sur roche entière	Concerne 10,5% des désintégrations du 40K $^{40}{\rm Ar_0}\approx 0$
C/N Carbone / Azote « Carbone 14 »	14 C> 14 N +β ⁻ λ= 1,245 10 $^{-4}$ α ⁻¹	5 568	Carbone organique ou CO ₂ piégé 100 à 60 000 ans	$C_0 \approx 10^{-12}$ Corrections en fonction du taux C_0 réel
Rb/Sr Rubidium / Strontium	87 Rb> 87 Sr + β $\lambda = 1,42.10^{-11} a-I$	48,38.10°	Datations de roches ou minéro $(^{87}Sr/^{86}Sr) = f((^{87}Rb/^{86}Sr))$	

BCPST1 – G. Furelaud 8/10



BCPST1 – G. Furelaud 9/10

206Pb
238U

1,0238U

0,8
0,6
0,6
0,4
0,22,5

0,22,5

0,22,5

0,22,5

0,22,0

courbe Concordia (âge en Ga)

3,5

âge de A≈3,75 Ga

A

4,6

3,5

âge de cristallisation de B≈3,5 Ga

0,22,5

perturbation de B à 2 Ga

Fig. 19. Courbe Concordia et Discordia dans une datation U/Pb.

Fig. 20. Principales subdivision du Phanérozoïque.

60

80

40

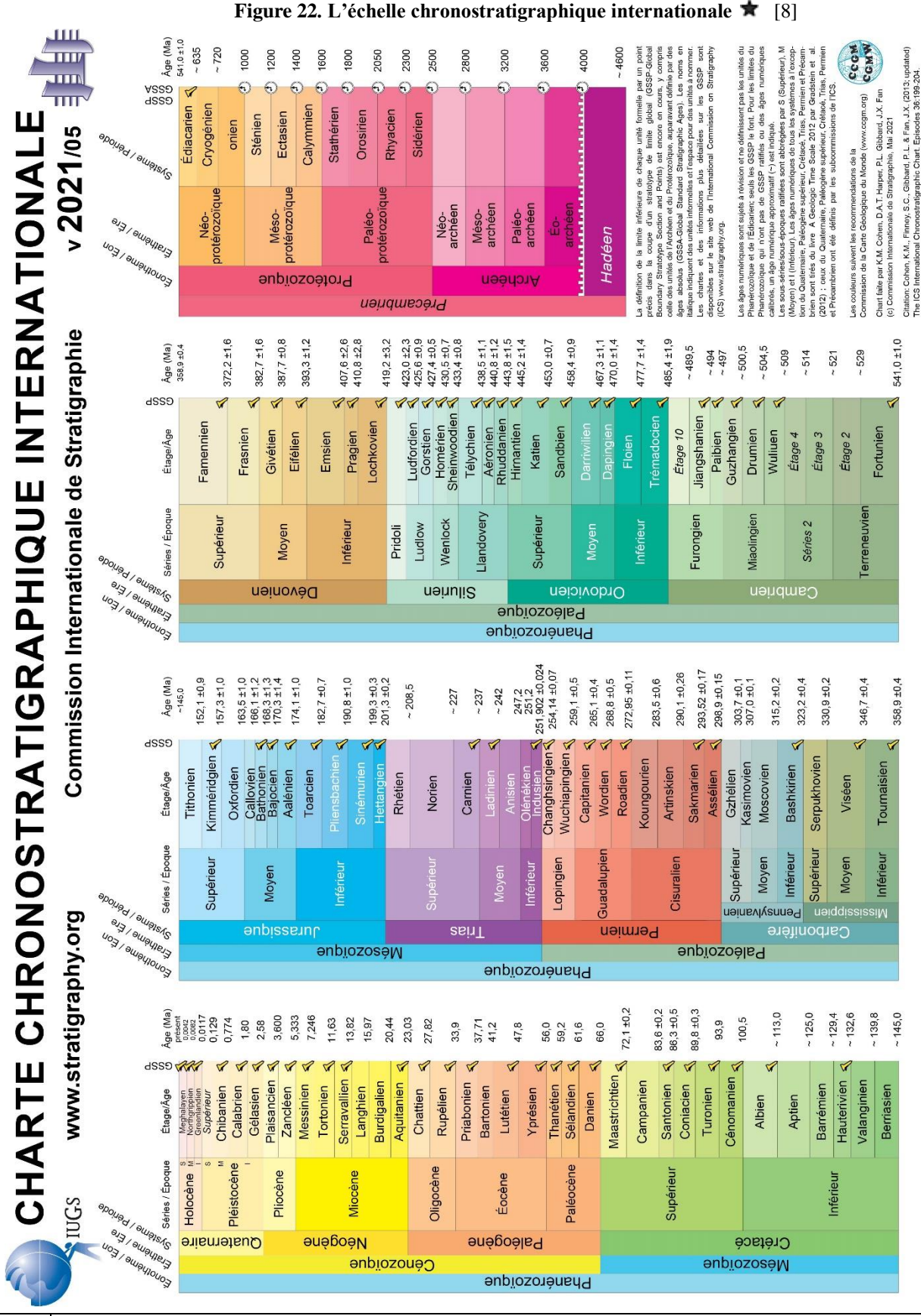
20

Eres ***	Périodes ***	Epoques pour informatio	n Age absolu
	Quaternaire	Holocène	
	Quaternane	Pléistocène	— 2,58 Ma
	Néogène	Pliocène	2,50 Ma
Cénozoïque	reogene		→ 23 Ma
		Oligocène	25 114
	Paléogène	<u>Eocène</u>	
		Paléocène	66 Ma
	Crétacé	Supérieur	001/14
	Oretace	Inférieur	
		Supérieur	
Mésozoïque	Jurassique	<u>Moyen</u>	*
1,1050201400		Inferieur	^
	Trias	<u>Supérieur</u>	
		Moyen	
		Inférieur	252 Ma
	Permien		
	Carbonifère		359 Ма
Paléozoïque	Dévonien		
- and a bondary	Silurien		444 Ma
	Ordovicien		
	Cambrien		541 Ma
Protérozoïque	Ediacarien etc		311 114

Fig. 21. Subdivisions en Eons. 🖈

Eon	subdivisions	Ages absolus	Remarques
Phanérozoïque	3 ères : Paléozoïque >> Mésozoïque >> Cénozoïque	541 Ma à actuel	Abondance de fossiles, suite à l'explosion cambrienne
Protérozoïque	3 ères Dernière époque = Ediacarian	2,5 Ga à 541 Ma	Peu de fossiles. Faune édiacarienne : totale différente de la faune actuelle Ancien nom : « précambrien » « briovérien » : ancien nom pour Ediacarien + Cryogénien
Archéen	4 ères	4 Ga à 2,5 Ga	Peu de roches, quasi-absence de fossiles
Hadéen	aucune	4,6 Ga à 4 Ga	Seuls quelques minéraux subsistent. Tectonique globale différente, avec subductions continentales en particulier

BCPST1 - G. Furelaud 10/10



[1] ou absence de numéro : Ouvrage ou page Internet non précisé Références [2] O. Dautel et al. Biologie Géologie BCPST1. Vuibert

- [3] C. Perrier et al. Biologie BCPST1 tout-en-un. Dunod
- [4] Y. Lagabrielle et al. Mémo visuel de Géologie. Dunod
- [5] C. Bassaglia. Communication personnelle
- [6] manuel de spécialité SVT, terminale générale. Editions Hachette
- [7] manuel de spécialité SVT, terminale générale. Editions Belin
- [8] https://stratigraphy.org/chart